

АКАДЕМИЯ НАУК УКРАИНСКОЙ ССР  
ИНСТИТУТ БИОЛОГИИ ЮЖНЫХ МОРЕЙ  
ИМ. А.О. КОВАЛЕВСКОГО

ПРОВ 2010

МЕТОДЫ ОПРЕДЕЛЕНИЯ  
РАДИОАКТИВНОСТИ

(Материалы симпозиума)

ИЗДАТЕЛЬСТВО «НАУКОВА ДУМКА»  
КІЕВ—1972

концентрации  $10^{-9}$  С/л на икру камбалы. Количественным фактором характеристики действия было выбрано число хромосомных абераций в икринке, выраженных в процентах. Предположим, что средние значения опытов отличаются от генерального среднего не более чем на  $1\sigma$ . Нулевая гипотеза  $H_0$  проверяется с 5%-ным уровнем значимости и считается экономически достаточным отбрасывать  $H_0$  с вероятностью 0,9. Необходимое количество повторностей в каждом опыте находится из рис. 4 на кривой  $\Delta = 1/6$ ,  $M = 0,9$ , т.е.  $n = 29$ .

### Выводы

1. В настоящей работе проведено сравнение количества повторностей в опыте в случае неизвестного и нормального распределений варианта.

2. Приведены кривые мощности  $\alpha$ -критерия и  $F$ -критерия однофакторного дисперсионного анализа.

3. Рассчитаны: а) зависимость количества повторностей в опыте от величины разброса экспериментальных данных для  $\alpha$ -критерия; б) зависимость количества повторностей в каждом опыте от числа поставленных опытов для  $F$ -критерия однофакторного дисперсионного анализа с учетом величин мощности критерия и уровня значимости.

### Литература

1. Налимов В.В. Применение математической статистики при анализе вещества, Физматгиз, М., 1960.
2. Хальд А. Математическая статистика с техническими приложениями. ИЛ., М., 1956.
3. Шеффе Г. Дисперсионный анализ. Физматгиз, М., 1963.

В.П.Парчевский, Г.А.Фрейман,  
Н.А.Лаврентьев, Н.С.Рисик

### ЕСТЕСТВЕННАЯ РАДИОАКТИВНОСТЬ ВУЛКАНИЧЕСКОЙ ГРУППЫ КАРАДАГА В КРЫМУ

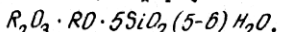
#### Введение

Крым издавна привлекал к себе внимание ученых различных специальностей. Проведены обширные исследования, посвященные изучению природных ресурсов этого своеобразного края. В свое время академики В.И.Бернадский и А.Е.Ферсман [1,2] подчеркивали необходимость изучения радиоактивности Крыма. Имеющиеся к настоящему времени сведения о естественной радиоактивности Крыма немногочисленны [1,2,7].

С 1966 г. такие исследования стали проводиться в отделе радиобиологии Института биологии южных морей АН УССР. Первая работа в этом направлении проведена в районе вулканической группы Карадага, которая расположена в восточной части Крыма вблизи г. Феодосии.

Вулканическая группа Карадага представляет собой остатки слоистого вулкана. Проведенные нами спектрометрические измерения выполнены вблизи хребта Карагача. Этот хребет сложен из вулканических продуктов - туфов, туфовых аггломератов, вулканических брекчий и лавовых покровов [3-5].

В этом районе сосредоточены большие залежи бентонитовой глины кеэфекилита, известного под названием кила. Кил представляет собой жирное наощупь мылоподобное вещество с восковым блеском. Состав бентонитов отвечает общей формуле



где под  $R_2O_3$  разумеется  $Al_2O_3$  и  $Fe_2O_3$ , а под  $RO$  -  $CaO$ ,  $MgO$ ,  $FeO$  и щелочи [6].

А.Е.Ферсман отмечал, что по сообщению проф. Гемилиана кил обладает радиоактивностью [2]. Однако кроме этого указания не было приведено других сведений. Из сообщения чл.-корр. АН УССР Г.Г.Поликарпова авторам было известно, что в этом районе им отмечен более высокий уровень радиации по сравнению с другими местами Крыма.

В районе Карадага залежи кила выходят непосредственно к морю. В результате воздействия дождевых осадков постоянно происходит смыв кила в море.

#### Измерения в природных условиях

Энергетический состав гамма-излучения над поверхностью земли изучался с помощью скважинного гамма-спектрометра с многоканальным амплитудным анализатором импульсов. Этот прибор позволяет проводить дистанционные спектрометрические измерения на расстояниях до 3000 м.

Датчик с кристаллом йодистого натрия  $Nal(Tl)$  размером 40 x 50 мм и фотоэлектронным умножителем ФЭУ-13 был установлен на высоте 1,5 м от земли. Установка диапазона энергетической шкалы 0,1-4 МэВ осуществлялась изменением высокого напряжения питания фотоумножителя. Регистрация излучений проводилась в дневное и вечернее время.

Кроме этого, проводились спектрометрические измерения при погружении сцинтилляционного датчика в кил на глубину около 30 см.

Характерные гамма-спектры ионизирующей радиации приземного воздуха, снятые вблизи хребта Карагача, изображены на рис. I-3. Из графиков отчетливо видно, что спектральный состав гамма-лучей

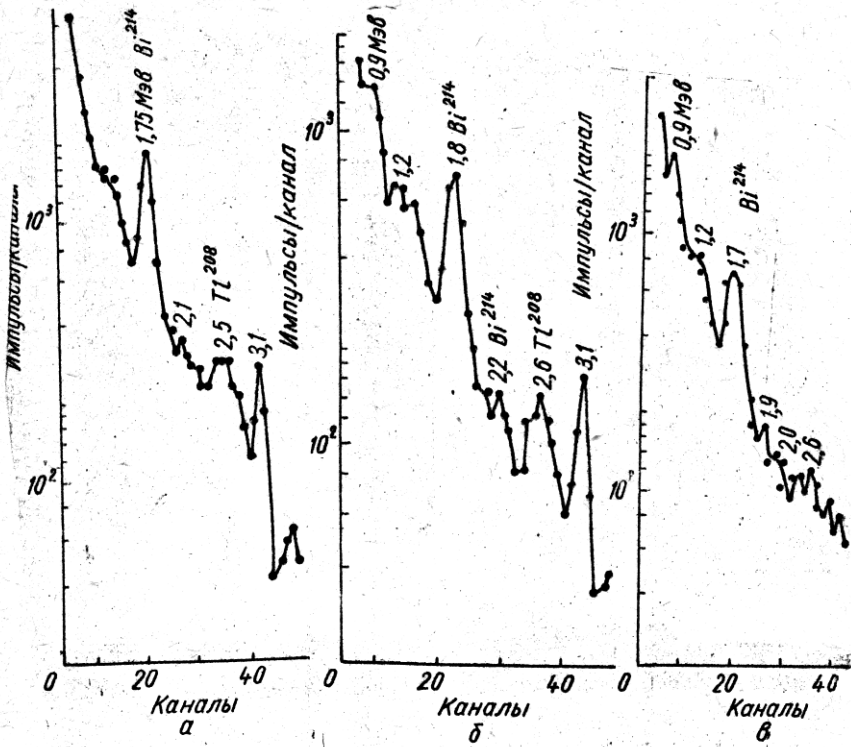


Рис. 1. Гамма-спектры излучений воздуха в районе Карадага (Крым) в дневное время:

а - 14.7.1966 г. в 12 час 40 мин;  
б - 15.7.1966 г. в 12 час 45 мин;  
в - 15.7.1966 г. в 13 час 00 мин (началась облачность).

над поверхностью земли изменялся в течение суток. Как правило, в дневное время на гамма-спектрах отчетливо проявлялись фотопики с энергиями 0,9; 1,2; 1,7-1,8; 2,5-2,6 и 3,1 Мэв, которые затем исчезали в вечернее время. Подобную картину наблюдали авторы в течение нескольких дней. На спектрах не было зарегистрировано гамма-линий  $K^{40}$ .

Измерения, проведенные при погружении датчика в кил, показали, что в этом случае изменился энергетический состав гамма-излучений (рис. 4). На спектрах были четко выражены фотопики с энергиями 1,45 и 2,5 Мэв. Энергетический состав гамма-излучений оставался постоянным и в течение суток не менялся.

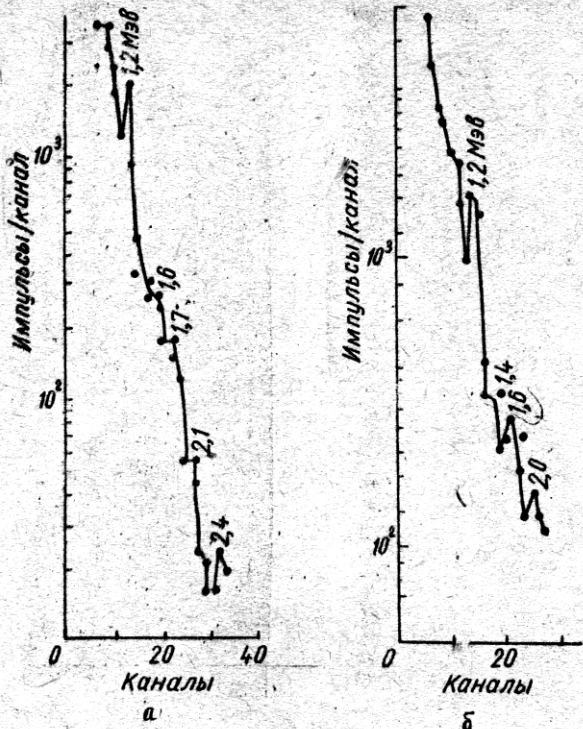


Рис. 2. Гамма-спектры излучений воздуха в районе Карадага (Крым) в вечернее время:  
 а - 14.7.1966 г. в 21 час II мин;  
 б - 15.7.1966 г. в 20 час 30 мин.

#### Измерения в лабораторных условиях

В стационарных условиях анализировались пробы киля и растений (полынь, кактусы), которые были взяты в районе, где изучался спектральный состав излучений приземного воздуха.

Использовался сцинтилляционный кристалл йодистого натрия  $\text{NaI}(\text{Tr})$  размером 70×70 мм и многоканальный анализатор импульсов АИ-256. Разрешение кристалла по гамма-линии 0,661 Мэв (цезий-137) составляло 13%. Время измерения проб составляло 200–400 мин.

Собранные растения высушивали и озоляли в муфельной печи при температуре около  $400^{\circ}\text{C}$ .

Гамма-спектры излучений киля показаны на рис. 5. В излучениях киля зарегистрированы гамма-линии с энергиями 0,08 Мэв; 0,14; 0,24; 0,34; 0,61; 0,91; 1,12; 1,45; 1,73; 2,12 и 2,5 Мэв.

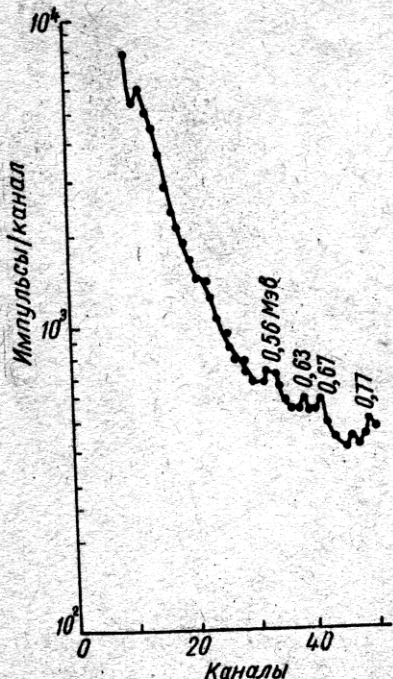


Рис. 3. Гамма-спектр излучений воздуха в районе Карадага (Крым) в вечернее время (низкоэнергетическая часть спектра) 11.7.1966 г. в 22 час 30 мин.

Энергетический состав излучений зоны растений был отличен от такого киля и обусловливался главным образом излучением  $K^{40}$  и  $Cs^{137}$ . Авторам не удалось в пределах чувствительности метода зарегистрировать в зоне растений присутствие естественных радионуклидов (кроме  $K^{40}$ ).

#### Обсуждение

Было проведено сопоставление энергий гамма-лучей приземного слоя воздуха и киля с таковыми членов уранового и ториевого рядов. Из табл. I и 2, в которых приведены эти данные, можно заключить, что ионизирующая радиация как воздуха, так и киля обусловливается радионуклидами уранового и ториевого рядов. В спектральном соста-

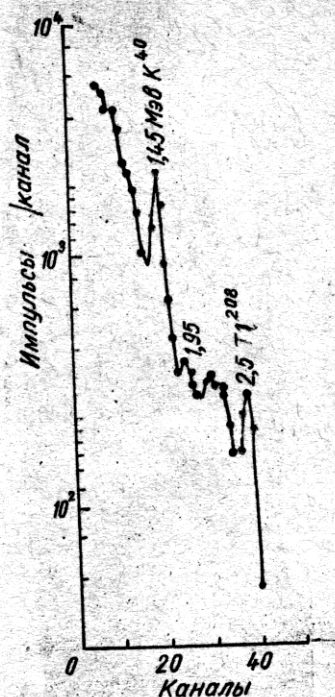


Рис. 4. Гамма-спектр излучений киля. Датчик был засыпан в киль на глубину примерно 30 см. 16.7.1966 г. в 19 час 20 мин.

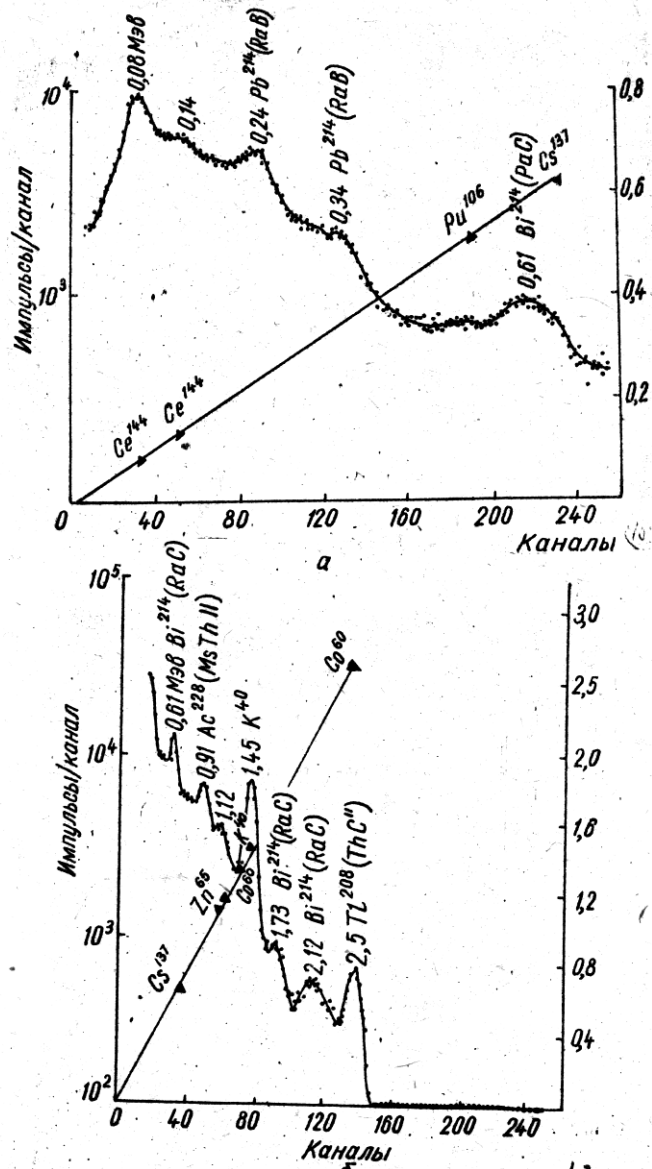


Рис. 5. Гамма-спектр излучений кила, снятый в лабораторных условиях:

а - низкоэнергетическая часть спектра;  
б - высокоэнергетическая часть спектра.

всех излучений кила зарегистрированы из уранового ряда радионуклиды  $Rb^{224}(RaB)$  и  $Bi^{214}(RaC)$ , а из ториевого ряда —  $Ac^{228}(RaThII)$  и  $Tl^{208}(ThC')$ . Фотопики гамма-спектров излучений воздуха обусловливались в основном  $Bi^{214}$  и  $Tl^{208}$ .

Имеются неопределенности относительно фотопика с энергией 0,08 МэВ, вклад в который могут оказывать излучения  $Th^{234}(U\chi)$  (ряд урана),  $Th^{228}(RaTh)$  (ряд тория).

Колебания интенсивности гамма-радиации в приземном слое воздуха обусловливались, по-видимому, следующим обстоятельством.

Таблица I

Сопоставление гамма-линий излучений приземного слоя воздуха с таковыми членов рядов урана и тория

Энергия гамма-лучей в приземном слое воздуха, МэВ	Ряд $U$		Ряд $Th$	
	Энергия, МэВ $\chi$ /	Нуклид	Энергия, МэВ $\chi$ /	Нуклид
3,1				
2,6				
2,17	2,20(6)	$Bi^{214}$	2,6(100)	$Tl^{208}$
I,78	I,76{I9}	$Bi^{214}$		
I,17	I,19(4)	$Ra^{226}$		
	I,16{2}			
	I,12(20)	$Bi^{214}$		
0,86	0,81(2)	$Bi^{214}$	0,83(8)	$Bi^{212}$

x/ Цифры в скобках показывают процент выхода гамма-лучей на распад.

Во время проводившихся исследований в дневное время, как правило, была безветренная погода. Газообразные продукты радона и торона, являющиеся членами уранового и ториевого рядов, в результате этого могли концентрироваться в приземном слое воздуха. В пользу этого свидетельствует еще и то, что на гамма-спектрах излучений приземного слоя воздуха кроме  $Bi^{214}$  и  $Tl^{208}$ , являющихся продуктами распада радона и торона, не зарегистрировано гамма-излучение предшественников радона и торона. На гамма-спектре же излучений кила выделялся фотопик  $Ac^{228}$ , являющийся предшественником торона. В вечернее время обычно наблюдался легкий морской бриз, который мог уносить образующиеся продукты распада радона и торона и тем самым снижать интенсивность ионизирующей радиации воздуха. Изменение интенсивности излучений воздуха вызывает, естественно, и изменение доз радиации, действию которых подвергаются живые организмы, обитающие в этом районе.

Таблица 2

Сопоставление гамма-линий излучений кила с таковыми членов рядов урана и тория и других радионуклидов

Энергии гамма-лучей кила, Мэв	Ряд $U$		Ряд $Tl$		Другие радионуклиды	
	Энергия, Мэвх/	Нуклид	Энергия, Мэвх/	Нуклид	Энергия, Мэвх/	Нуклид
2,5	2,43(2)	$Bi^{214}$	2,62(100)	$Tl^{208}$		
2,1	2,20(6)	$Bi^{214}$				
1,7	1,76{19}]{	$Bi^{214}$				
	1,73(2)}					
1,45	1,51(3)}	$Bi^{214}$			I,46(II)	$K^{40}$
	1,42(4)}	$Bi^{214}$				
0,91	0,94(5)	$Pb^{214}$	0,97(18)}	$Ac^{228}$		
			0,91(25)}			
0,61	0,61(45)	$Pb^{214}$				
0,36	0,35(44)	$Pb^{214}$	0,34(II)	$Ac^{228}$		
0,26	0,29{24}]{	$Pb^{214}$				
	0,24(II)}					
0,14			0,18(3)}			
			0,13(6)}	$Ac^{228}$		
0,08	0,09(15)	$Tl^{234}$	0,13(2)	$Bi^{212}$		
			0,08(2)	$Tl^{228}$		

x/ Цифры в скобках показывают процент выхода гамма-лучей на распад.

### Выводы

I. Естественная гамма-радиоактивность кила и приземного воздуха в районе вулканической группы Карадага (Крым) обусловливалась членами уранового и ториевого семейств:  $Pb^{214}(RaB)$ ,  $Bi^{214}(RaC)$ ,  $Ac^{228}(MgTlII)$ ,  $Tl^{208}(TlC''')$ , а также  $K^{40}$ .

2. Гамма-спектры излучений приземного слоя воздуха, снятые *in situ*, показали, что в дневное и вечернее время менялось соотношение фотопиков особенно с энергиями 1,7; 2,6 и 3,1 Мэв. Отмечено, что радиоактивность приземного воздуха была большей в дневное время по сравнению с вечерним.

3. Проведение гамма-спектрометрических исследований открывает широкие возможности для изучения состава и колебания интенсивности ионизирующей радиации в районах с повышенным содержанием естественных радиоактивных веществ.

### Литература

1. Вернадский В.И. - Изв. АН СССР, 15, 1921, 15, 403-408.
2. Ферсман А.Е. Избранные труды, т.5. Изд-во АН СССР, М., 1959, 717.

3. Левинсон-Лессинг Ф.Ю., Дьяконова-Савельева Е.Н. Вулканическая группа Карадага в Крыму. Изд-во АН СССР, Л., 1938.
4. Слудский А.Ф. Записки Крымского общества естествоиспытателей и любителей природы, т. I, 1912, 33-43.
5. Смирнов А.Н. и др. Карадаг. Научно-популярные очерки. Изд-во АН УССР, К., 1959.
6. Ферсман А.Е. Кил. Техническая энциклопедия, 1930, т. IO, 154.
7. Цейтлин С.Г. Тр. Биогеохим. лаб. АН СССР, 1944, т. 7, 128.

Н.С.Рисик, Г.Г.Поликарпов, Х.Абдуллаев

### ОПРЕДЕЛЕНИЕ УРАНА В МОРСКОЙ ВОДЕ И МОРСКИХ ОРГАНИЗМАХ МЕТОДОМ НЕЙТРОННОЙ АКТИВАЦИИ С ПРИМЕНЕНИЕМ ДИЭЛЕКТ- РИЧЕСКИХ ДЕТЕКТОРОВ

Существует большое количество химических, физико-химических и физических методов количественного определения урана в различных средах. Большинство из них требует предварительного химического выделения урана из проб или сложной и малодоступной аппаратуры.

Общепринятым методом, применяемым для определения микроколичеств урана в морской воде и биоматериале, является люминесцентный. Этот метод основан на способности уранила в виде твердого раствора с фтористым натрием люминесцировать под действием ультрафиолетового излучения. С увеличением содержания урана в образцах интенсивность свечения линейно возрастает в диапазоне концентраций до  $6 \cdot 10^{-5}$  г, что используется для количественного определения [5].

Однако на точность определения урана оказывают большое влияние присутствующие в пробах гасящие примеси (*Cu*, *Mn*, *Cr*, *Pb*, *Fe*, *Bi*, *Co*, *Ni* и др.), которые снижают яркость люминесценции [5]. Для отделения урана от примесей гасителей применяют экстрагирование его трибутилфосфатом [7], соосаждение уранилроданидного комплекса с осадком роданида метилвиолета [6], адсорбцию на угле [3].

В последние годы получили распространение диэлектрические детекторы заряженных частиц и с помощью их определение концентрации урана. Это один из наиболее чувствительных методов (табл. I).

Начало разработки этой методики было положено Силком и Барнесом [12], Прайсом и Уокером [14], которые применили слюду для регистрации следов осколков деления урана. Но ввиду того, что в то время еще не могли устранить высокий фон следов от осколков деления примесных ядер урана, этот детектор не нашел широкого применения.